

# III-244 和泉層岩盤の異方性について

京都大学工学部 正員 畠 昭治郎  
 京都大学工学部 正員 谷本 親伯  
 京都大学工学部 学生員 ○木村 宏

## 1. はじめに

異方性の著しい岩盤の場合、岩盤の工学的分類区分との対応だけではなく、層理面や割れ目の方向の分布下地質調査により把握し、その強度への影響を考慮しなければならない。従来、ダムの建設地では、いくつかの異方性に関する現場試験が実施されてきてはいるが、トンネルに関しては、数々の数値解析や室内実験に比し、現場実験は少ないようである。45度の傾斜角を持つ和泉層内のトンネルにおいて空洞開口による地山の変位状況を測定したところ、異方性が認められた。この測定値に対する数値解析結果について報告する。なお、今后変位測定による現位置岩盤の強度の推定を検討したいと思われる。

## 2. 直交異方性弾性体内の円形空洞の変位

図-1に示す応力場において、弾性の対称軸が主応力の方向と45°の角度下有する場合、平面ひずみ状態では空洞壁面の変位量は次式で与えられる。<sup>1)</sup>

$$U_r = -\frac{P_y}{2} a_1 \left\{ (\alpha'_1 + \beta'_1) - (\alpha'_1 - \beta'_1) \cos 2\theta - (\alpha'_2 + \beta'_2) \sin 2\theta \right\} - \frac{P_x}{2} a_2 \left\{ (\alpha'_1 + \beta'_1) + (\alpha'_1 - \beta'_1) \cos 2\theta + (\alpha'_2 + \beta'_2) \sin 2\theta \right\}$$

$$U_\theta = \frac{P_x}{2} a_1 \left\{ (\alpha'_1 - \beta'_1) - (\alpha'_1 - \beta'_1) \sin 2\theta + (\alpha'_2 - \beta'_2) \cos 2\theta \right\} + \frac{P_y}{2} a_2 \left\{ (\alpha'_2 - \beta'_2) + (\alpha'_1 - \beta'_1) \sin 2\theta - (\alpha'_2 + \beta'_2) \cos 2\theta \right\}$$

ここで、  
 $\alpha'_1 = a_{11} \left\{ (1+n) \cos^2 \varphi - m \sin^2 \varphi \right\}, \quad \alpha'_1' = a_{11}' \left\{ (1+n') \cos^2 \varphi - m' \sin^2 \varphi \right\}$   
 $\alpha'_2 = a_{12} \left\{ (m+n) + a_{12} + \frac{1}{2} a_{66} \right\} \sin 2\varphi \cos \varphi, \quad \alpha'_2' = \left\{ a_{12}' (m'+n') + a_{12}' + \frac{1}{2} a_{66}' \right\} \sin 2\varphi \cos \varphi$   
 $\beta'_1 = a_{22} \left\{ (1+\frac{n}{m}) \sin^2 \varphi - \frac{1}{m} \cos^2 \varphi \right\}, \quad \beta'_1' = a_{22}' \left\{ (1+\frac{n'}{m'}) \sin^2 \varphi - \frac{1}{m'} \cos^2 \varphi \right\}$   
 $\beta'_2 = \left\{ a_{22} \left( \frac{1+n}{m} \right) + a_{12} + \frac{1}{2} a_{66} \right\} \sin 2\varphi \cos \varphi, \quad \beta'_2' = \left\{ a_{22}' \left( \frac{1+n'}{m'} \right) + a_{12}' + \frac{1}{2} a_{66}' \right\} \sin 2\varphi \cos \varphi$   
 $m = \sqrt{\frac{a_{22}}{a_{11}}}, \quad n = \sqrt{\frac{2a_{12}+a_{66}}{a_{11}}} + 2\sqrt{\frac{a_{22}}{a_{11}}}, \quad m' = \sqrt{\frac{a_{22}'}{a_{11}'}} , \quad n' = \sqrt{\frac{2a_{12}'+a_{66}'}{a_{11}'} + 2\sqrt{\frac{a_{22}'}{a_{11}'}}}$   
 $a_{11} = \frac{1}{E_1} (1-V_{12}V_{21}), \quad a_{22} = \frac{1}{E_2} (1-V_{23})^2, \quad a_{12} = -\frac{1}{E_1} (V_{12}+V_{23}^2), \quad a_{66} = \frac{1}{E_1} + \frac{1}{E_2} + \frac{2V_{12}}{E_1}$   
 $a_{11}' = \frac{1}{E_1} (1-V_{12}V_{21}), \quad a_{22}' = \frac{1}{E_2} (1-V_{23})^2, \quad a_{12}' = -\frac{1}{E_1} (V_{12}+V_{23}^2), \quad a_{66}' = \frac{1}{E_1} + \frac{1}{E_2} + \frac{2V_{12}}{E_1}$

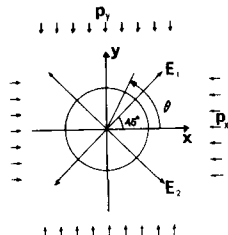


図-1 解析条件

ここに、 $E_1$ : 層理面に直交する方向の弾性係数、 $E_2$ : 層理面に平行な方向の弾性係数、 $V_{12}$  ( $V_{21}$ ):  $E_1$  ( $E_2$ ) 方向に生じたいずみの  $E_1$  方向へのボアソン比、 $V_{23}$ : 層理面内ひずみのボアソン比である。

実際のトンネルを  $a = 5\text{ m}$  の円形トンネルと仮定し、表-1に示す材料定数をえた。また、同地盤における初期応力に関する調査はなされていないので、被り高さより  $P_y = 10 \text{ kg/cm}^2$  を想定し、水平方向の  $P_x$  について、 $P_x = P_y$ 、 $P_z = \frac{1}{2} P_y$  および  $P_x = \frac{1}{3} P_y$  の3種の荷重条件を与えた。上式を得られた半径方向および接線方向の変位を、空洞中心を原点とする  $x$ ,  $y$  座標系に変換し、その結果を示すと、図-2および図-3の通りである。(  $u$ :  $x$  方向変位、 $v$ :  $y$  方向変位 )

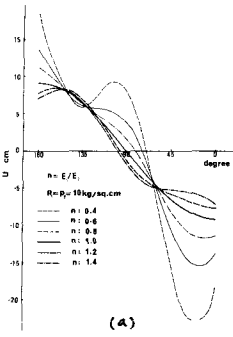
## 3. 変位測定値による異方性の考察

クラウン部の変位について、断面1 (B~C<sub>2</sub>級岩盤) では、 $u = 4.8 \text{ mm}$ 、 $v = 25.4 \text{ mm}$ 、また、断面2 (A~B級岩盤) では、 $u = 4.5 \text{ mm}$ 、 $v = 10.3 \text{ mm}$  などの測定結果を得ている。

$E_2 = 1000 \text{ kg/cm}^2$  とする数値計算では、3種の荷重条件および6種の  $E_1/E_2$  比 ( $n$ ) に対し、クラ

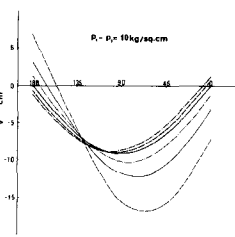
表-1 数値解析に用いた材料定数

$n=E_1/E_2$	$P_x=P_y=10 \text{ kg/cm}^2$						$2P_x=P_y=10 \text{ kg/cm}^2$					
	0.4	0.6	0.8	1.0	1.2	1.4	0.4	0.6	0.8	1.0	1.2	1.4
$E_2$	1000 kg cm <sup>-2</sup>						1000 kg cm <sup>-2</sup>					
$V_{12}$	0.2	0.2	0.2	0.3	0.3	0.3	0.2	0.2	0.3	0.3	0.3	0.3
$V_{23}$	0.3	0.3	0.3	0.3	0.2	0.2	0.3	0.3	0.3	0.3	0.2	0.2



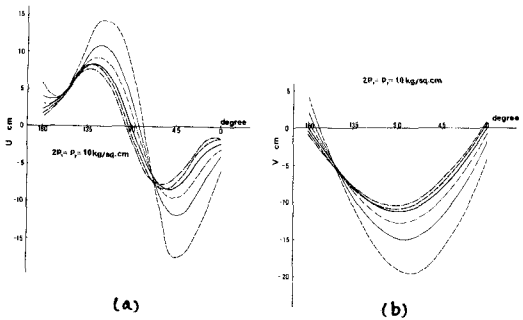
$P_x = P_y = 10 \text{ kg}/\text{cm}^2$

(a)



(b)

図-2  $P_x = P_y = 10 \text{ kg}/\text{cm}^2$  の変位



(a)

$2P_x = P_y = 10 \text{ kg}/\text{cm}^2$

(b)

図-3  $2P_x = P_y = 10 \text{ kg}/\text{cm}^2$  の変位

ウン部 ( $\theta = 90^\circ$ ) の変位  $U$ , ひが求められており, これとよみみと, 図-4 のような結果を得た。すなはち,  $P_x/P_y$  が小さくなる程, 鎮直変位の絶対値は増大し,  $n > 1$  の場合は水平方向の変位は直となり,  $n < 1$  の場合は正である。この図に対し, 測定値をプロットすると, 四角印のようである。測定値は, 切羽の進行による断面変形から求められたものであり, 初期状態から切羽が到達するまでに最終変位の 23 % がすでに変位したものである<sup>2)</sup>, これを補正した位置が原点と測定点を通る線上の 1 となる。地山が弾性体であれば, クラウン部の変位は, 地山の弾性係数に応じてこの斜線上で移動する。変 0, 1 向を基準として目盛を付せば, 墓際の荷重条件に対する箇所が岩盤の弾性係数を示す。経験的に,  
 $2P_x = P_y = 10 \text{ kg}/\text{cm}^2$  が妥当とすれば, 次の結果を得る。

A ~ B 級岩盤:  $E_1 = 5460 \text{ kg}/\text{cm}^2$ ,  $E_2 = 14000 \text{ kg}/\text{cm}^2$

B ~ C<sub>2</sub> 級岩盤:  $E_1 = 2750 \text{ kg}/\text{cm}^2$ ,  $E_2 = 4300 \text{ kg}/\text{cm}^2$

#### 4. P 波伝播速度による異方性の考察

トンネル切羽面での発震振動から層理に平行する P 波と直交する P 波の速度を測定した結果が, 表-2 である。異方性と速度比の 2 条示せば, 次のようである。

B 級岩盤:  $E_1/E_2 = 0.71$

C ~ C' 級岩盤:  $E_1/E_2 = 0.66$

岩盤と  $(E_1/E_2)$  の相関性は, 前節の結果と相反している。和泉層の場合, 風化の程度やき裂の発達が著しい程, 异方性は少ないと考えられるので, さらに実験を重ねなければならない。

#### 〈参考文献〉

- 1) 丹羽・小林・平島: 光弹性ゲージによる直交異方性岩盤の応力測定法, 材料, 17巻 181号 (43年10月)
- 2) 高・谷本・木村: 和泉層岩盤の変形特性について, 土木学会第 11回岩盤力学シンポジウム講演概要 (53年2月)

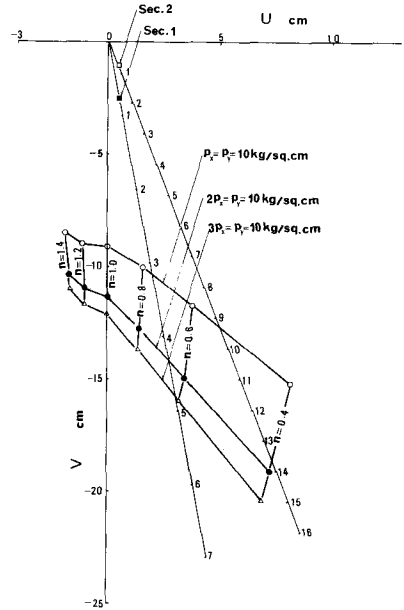


図-4 クラウン部の変位と異方性

表-2 P 波伝播速度測定結果

1		2	
$V_p(x)$ (km/s)	$V_p(z)$ (km/s)	$V_p(x)$ (km/s)	$V_p(z)$ (km/s)
-	1.7	-	1.6
1.9	1.6	2.1	1.9
1.7	1.7	2.1	1.6
1.8	1.6	2.1	1.2
1.9	1.6	2.1	2.0
ave. 1.9	ave. 1.6	ave. 2.1	ave. 1.7

(注) 1: 振動源付近の地質は、B 級

2: 振動源付近の地質は、C ~ C' 級

$V_p(x)$ : 層理面と平行に伝播する P 波速度

$V_p(z)$ : 層理面と直交して伝播する P 波速度